工学者のための量子計算 基礎の基礎

慶應義塾大学理工学部 物理情報工学科

伊藤公平

目次

量子コンピュータとは何か?を学部レベルの知識でも理解できるよう説明し,量子コンピュータ開発にむけていかなる工学技術が必要か考える機会を提供する.

- 1.計算のリソース
- 2.量子コンピュータとユニタリ変換
- 3.量子回路
- 4. 量子並列性と観測問題
- 5.量子力学的離散フーリエ変換
- 6.量子計算アルゴリズム
 - a) Deutsch-Jozsa アルゴリズム
 - b) Grover'sデータベース検索アルゴリズム
 - c) Shor's素因数分解アルゴリズム
- 7.量子ビットの求められる性質

参考文献

本講義の内容は,最終章を除いて,以下の3冊の本の内容をまとめた ものです.

- 1.上坂吉則「量子コンピュータの基礎数理」コロナ社
- 2.ゲナディ·P·ベルマン,ゲーリー·D·ドーレン,ロンニエ·マイニエリ, ウラジミール·I·チフリノピッチ 「入門 量子コンピュータ」 訳:松 田和典,パーソナルメディア社
- 3 . Michael A. Nielsen and Isaac L. Chuang, "Quantum Computation and Quantum Information," Cambridge University Press

計算のリソース

問題: N個の正整数を大きい順に並べる.

古典的コンピュータ

最低 $L \approx N \log_2 N$ ステップ必要

スパゲッティ - コンピュータ [西野哲朗:中国人郵便配達問題=コンピューサイエンス最大の難関,講談社(1999)]

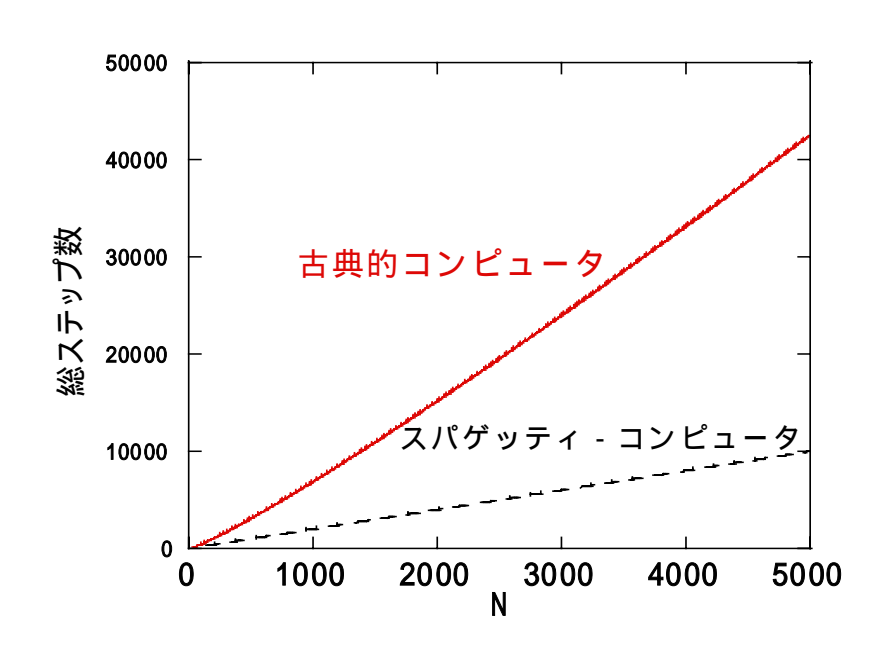
スパゲッティ - をN本用意し,正整数の大きさに切る(Nステップ)

束ねて机の上に立てる(1ステップ)

長い順に取り出し机に並べる(Nステップ)

以上の総ステップ数は2N+1

なぜ,スパゲティーコンピュータ は効率が良いのか?



量子コンピュータとは

時間に依存する 波動関数

$$i\hbar \frac{d\Psi}{dt} = H\Psi$$

$$i\hbar \frac{d\Psi}{dt} = H\Psi$$

$$H = -\frac{\hbar}{2m} \left(\frac{\partial^2}{\partial x^2} + \frac{\partial^2}{\partial y^2} + \frac{\partial^2}{\partial z^2} \right) + V(x, y, z)$$
 (1)

Hが時間に対して不変の 場合(緩和時間が長い)

$$\Psi(t) = U(t)\Psi(0)$$

$$U(t) = e^{-iHt/\hbar} = I + \frac{\left(-iHt/\hbar\right)}{1!} + \frac{\left(-iHt/\hbar\right)^2}{2!} + \frac{\left(-iHt/\hbar\right)^3}{3!} + \cdots$$
 (2)

ここでU(t)はユニタリ行列 $UU^*=I$

Yをリソースとして,それらに何ステップものユニタリ演算をほどこすのが量子計算

t おきにユニタリ演算U を施すと

$$\Psi(\Delta t) = U(0)\Psi(0)$$

$$\Psi(2\Delta t) = U(\Delta t)\Psi(\Delta t)$$

$$\Psi(3\Delta t) = U(2\Delta t)\Psi(2\Delta t)$$

$$\vdots$$

$$\Psi_n = U_{n-1}U_{n-2}\cdots U_0\Psi_0$$

$$= U'\Psi_0$$

有限空間で考えると

Ψを有限次元空間に属するベクトルと仮定する

$$e_0 = |0\rangle = \begin{bmatrix} 1 \\ 0 \end{bmatrix}$$
 基底 $e_1 = |1\rangle = \begin{bmatrix} 0 \\ 1 \end{bmatrix}$

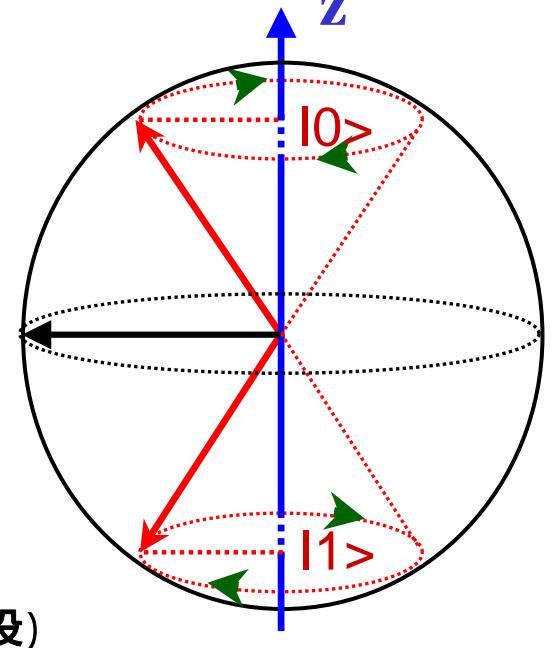
$$\Psi(t) = a(t)e_0 + b(t)e_1$$

$$= a(t)|0\rangle + b(t)|1\rangle$$

$$H = -\hbar\omega_0 I^z$$

$$I^z = \frac{1}{2} \begin{bmatrix} 1 & 0 \\ 0 & -1 \end{bmatrix}$$

$$\frac{1}{\sqrt{2}}$$
 $\left(\left| 0 \right\rangle + \left| 1 \right\rangle \right)$



I^Z はエルミート行列(=複素共役)

$$A = \begin{bmatrix} a_{00} & a_{01} \\ a_{10} & a_{11} \end{bmatrix} = A^* = \begin{bmatrix} a_{00}^* & a_{10}^* \\ a_{01}^* & a_{11}^* \end{bmatrix}$$

$$U(t) = e^{-iHt/\hbar} = I + \frac{(-iHt/\hbar)}{1!} + \frac{(-iHt/\hbar)^2}{2!} + \frac{(-iHt/\hbar)^3}{3!} + \cdots \implies UU^* = I$$

ユニタリ演算の例(1)

例1 <u>一量子ビット回転ゲート(NOT演算)</u>

(ユニタリかつエルミート)

$$egin{aligned} e_0 = ig|0ig
angle = igg[1\0ig] \ e_1 = ig|1ig
angle = igg[0\1ig] \end{aligned}$$
基底

$$egin{aligned} oldsymbol{U_R} oldsymbol{0} &= egin{bmatrix} oldsymbol{0} & oldsymbol{1} & oldsymbol{0} & oldsymbol{0} & oldsymbol{1} & oldsymbol{0} & oldsymbol{U_R} oldsymbol{1} & oldsymbol{0} & oldsymbol{$$

$$U_R \Psi(t) = a(t)|0\rangle + b(t)|1\rangle = a(t)|1\rangle + b(t)|0\rangle$$

 U_R はXゲート($\mathbf{I}^{\mathbf{X}}$)とも呼ばれ重要である。

ディラック記法では、
$$U_R = |0\rangle\langle 1| + |1\rangle\langle 0| = \begin{bmatrix} 1 \\ 0 \end{bmatrix} \begin{bmatrix} 0 & 1 \end{bmatrix} + \begin{bmatrix} 0 \\ 1 \end{bmatrix} \begin{bmatrix} 1 & 0 \end{bmatrix} = \begin{bmatrix} 0 & 0 \\ 1 & 0 \end{bmatrix} + \begin{bmatrix} 0 & 1 \\ 0 & 0 \end{bmatrix} = \begin{bmatrix} 0 & 1 \\ 1 & 0 \end{bmatrix}$$

$$\begin{cases} U_R |1\rangle = |0\rangle\langle 1|1\rangle + |1\rangle\langle 0|1\rangle = |0\rangle \\ U_R |0\rangle = |0\rangle\langle 1|0\rangle + |1\rangle\langle 0|0\rangle = |1\rangle \end{cases} \qquad \langle 0| = \begin{bmatrix} 1 & 0 \end{bmatrix} \quad \langle 1| = \begin{bmatrix} 0 & 1 \\ 1 & 0 \end{bmatrix} \quad \langle i|k\rangle = \delta_{ik} \\ U_R \cdot U_R^* = |0\rangle\langle 0| + |1\rangle\langle 1| = I \end{cases}$$

ユニタリ演算の例(2)

例2 二量子ビット制御ノッ ト(controlled NOT)演算 (22×22の行列が必要) (ユニタリかつエルミート)

基底
$$e_0 = |00\rangle = \begin{bmatrix} 1\\0\\0\\0 \end{bmatrix} \qquad e_1 = |01\rangle = \begin{bmatrix} 0\\1\\0\\0 \end{bmatrix}$$

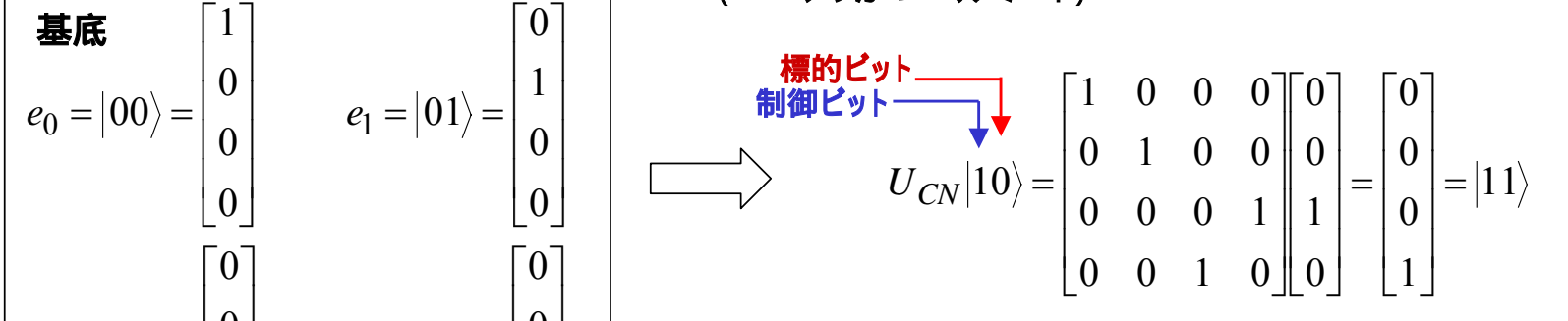
$$e_2 = |10\rangle = \begin{bmatrix} 0\\0\\1\\0 \end{bmatrix} \qquad e_3 = |11\rangle = \begin{bmatrix} 0\\0\\0\\1 \end{bmatrix}$$

アンソル積
$$|x_1\rangle\otimes|x_2\rangle = \begin{bmatrix} x_{1,0} \\ x_{2,1} \end{bmatrix} \otimes \begin{bmatrix} x_{2,0} \\ x_{2,1} \end{bmatrix} = \begin{bmatrix} x_{1,0}x_{2,0} \\ x_{1,0}x_{2,1} \\ x_{1,1}x_{2,0} \\ x_{1,1}x_{2,1} \end{bmatrix} = |x_1x_2\rangle$$

$$|x_1\rangle\otimes|x_2\rangle = \begin{bmatrix} x_{1,0} \\ x_{2,1} \\ x_{2,1} \end{bmatrix} = |x_1x_2\rangle$$

上力 $\psi_i = a_1|00\rangle + a_2|01\rangle + a_3|10\rangle + a_4|11\rangle$
出力 $\psi_f = U_{CN}\psi_i = a_1|00\rangle + a_2|01\rangle + a_3|11\rangle$

$$|0\rangle \otimes |0\rangle = \begin{bmatrix} 1 \\ 0 \end{bmatrix} \otimes \begin{bmatrix} 1 \\ 0 \end{bmatrix} = \begin{bmatrix} 1 \\ 0 \\ 0 \\ 0 \end{bmatrix} = |00\rangle$$



まとめると
$$U_{CN}|00\rangle=|00\rangle,\quad U_{CN}|01\rangle=|01\rangle,$$

$$U_{CN}|10\rangle=|11\rangle,\quad U_{CN}|11\rangle=|01\rangle.$$

入力
$$\psi_i = a_1|00\rangle + a_2|01\rangle + a_3|10\rangle + a_4|11\rangle$$

出力 $\psi_f = U_{CN}\psi_i = a_1|00\rangle + a_2|01\rangle + a_3|11\rangle + a_4|10\rangle$

量子並列性:2準位系の2量子ビットで2²状態が一度に 計算できる。N量子ビットでは2ⁿ状態を並列計算。

$$\begin{split} &U_{CN} = \big|00\big|\big\langle00\big| + \big|01\big|\big\langle01\big| + \big|10\big|\big\langle11\big| + \big|11\big|\big\langle10\big| \\ &U_{CN}U_{CN}^* = \big|00\big|\big\langle00\big| + \big|01\big|\big\langle01\big| + \big|10\big|\big\langle10\big| + \big|11\big|\big\langle11\big| = I \end{split}$$

古典演算との違い - 可逆性

可逆(古典、量子)

NOT演算 (回転ゲート)

$$b_f = a_i$$
$$a_i, b_i = 0.1$$

a _i	$b_{\rm f}$
0	1
1	0

不可逆(古典) AND演算

$$c_f = a_i b_i$$

a_i	b_i	c_{f}
0	0	0
0	1	0
1	0	0
1	1	1

不可逆(古典) XOR演算

$$c_f = a_i \oplus b_i$$
$$= \overline{a_i}b_i + a_i\overline{b_i}$$

a_i	b _i	c_{f}
0	0	0
0	1	1
1	0	1
1	1	0

可逆(量子)

Controlled NOT 制御NOT

$$b_f = a_i \oplus b_i$$
$$= \overline{a_i}b_i + a_i\overline{b_i}$$

a_i	b_i	$a_{\rm f}$	$b_{\rm f}$
0	0	0	0
0	1	0	1
1	0	1	1
1	1	1	0

量子回路



$$\ket{\mathit{B}} - - - - - \ket{\mathit{A} \oplus \mathit{B}}$$

量子計算で利用される単一量子ビット操作

Hadamard gate (アダマードゲート)

$$\alpha |0\rangle + \beta |1\rangle - H - \alpha \frac{|0\rangle + |1\rangle}{\sqrt{2}} + \beta \frac{|0\rangle - |1\rangle}{\sqrt{2}}$$

Pauli matrices (パウリ行列)

$$\alpha|0\rangle + \beta|1\rangle - X - \beta|0\rangle + \alpha|1\rangle$$

$$\alpha |0\rangle + \beta |1\rangle - Y - i(-\beta |0\rangle + \alpha |1\rangle)$$

$$\alpha|0\rangle + \beta|1\rangle - Z - \alpha|0\rangle - \beta|1\rangle$$

$$X = U_R \equiv \begin{bmatrix} 0 & 1 \\ 1 & 0 \end{bmatrix} \qquad Y \equiv \begin{bmatrix} 0 & -i \\ i & 0 \end{bmatrix} \qquad Z \equiv \begin{bmatrix} 1 & 0 \\ 0 & -1 \end{bmatrix}$$

$$H \equiv \frac{1}{\sqrt{2}} \begin{bmatrix} 1 & 1 \\ 1 & -1 \end{bmatrix} \qquad I \equiv \begin{bmatrix} 1 & 0 \\ 0 & 1 \end{bmatrix}$$

$$|\psi\rangle = \alpha|0\rangle + \beta|1\rangle, \quad |\alpha|^2 + |\beta|^2 = 1 \quad \text{Lij}$$

$$|\psi\rangle = e^{i\gamma} \left[\cos\frac{\theta}{2}|0\rangle + e^{i\varphi}\sin\frac{\theta}{2}|1\rangle \right]$$

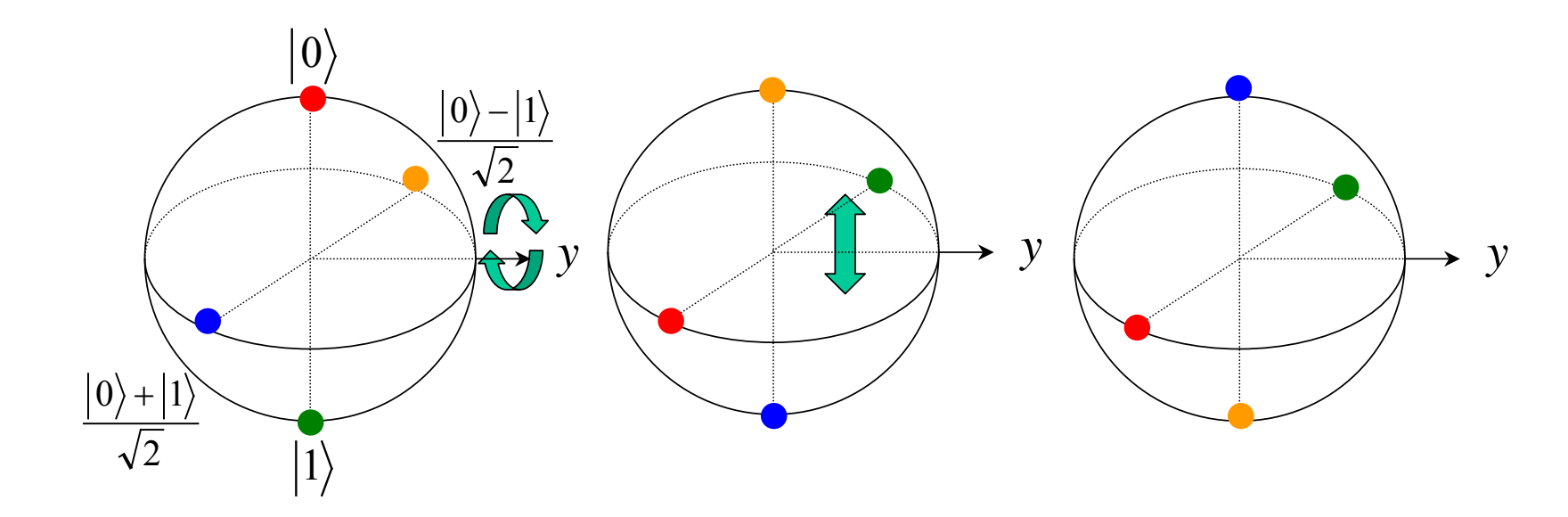
$$|\psi\rangle = \cos\frac{\theta}{2}|0\rangle + e^{i\varphi}\sin\frac{\theta}{2}|1\rangle$$
プロッホ球
$$|\psi\rangle = \cos\frac{\theta}{2}|0\rangle + e^{i\varphi}\sin\frac{\theta}{2}|1\rangle$$

Hadamard gate

$$H \equiv \frac{1}{\sqrt{2}} \begin{bmatrix} 1 & 1 \\ 1 & -1 \end{bmatrix}$$

 $H = \frac{1}{\sqrt{2}}\begin{bmatrix} 1 & 1 \\ 1 & -1 \end{bmatrix}$ H looks like a 'square-root of NOT' gate, though H² is not a NOT gate.

$$H\big|0\big\rangle = \frac{\big|0\big\rangle + \big|1\big\rangle}{\sqrt{2}} \qquad H\big|1\big\rangle = \frac{\big|0\big\rangle - \big|1\big\rangle}{\sqrt{2}} \qquad H\bigg(\frac{\big|0\big\rangle + \big|1\big\rangle}{\sqrt{2}}\bigg) = \big|0\big\rangle \qquad H\bigg(\frac{\big|0\big\rangle - \big|1\big\rangle}{\sqrt{2}}\bigg) = \big|1\big\rangle$$



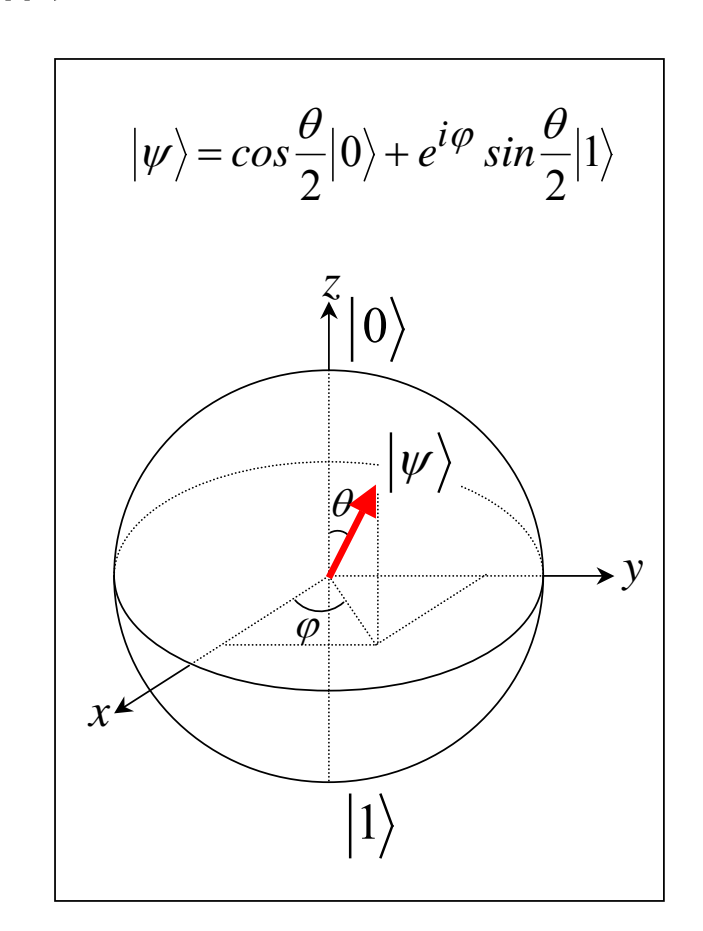
回転操作

ブロッホ球のx, y, z軸それぞれを中心とした角度θの回転

$$R_{X}(\theta) = e^{-i\theta X/2} = \cos\frac{\theta}{2}I - i\sin\frac{\theta}{2}X = \begin{bmatrix} \cos\frac{\theta}{2} & -i\sin\frac{\theta}{2} \\ -i\sin\frac{\theta}{2} & \cos\frac{\theta}{2} \end{bmatrix}$$

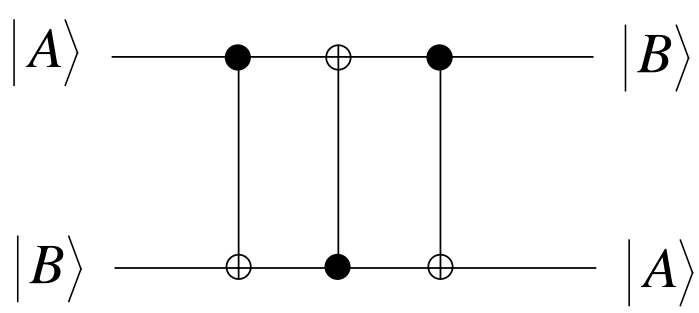
$$R_{y}(\theta) = e^{-i\theta Y/2} = \cos\frac{\theta}{2}I - i\sin\frac{\theta}{2}Y = \begin{bmatrix} \cos\frac{\theta}{2} & -\sin\frac{\theta}{2} \\ -\sin\frac{\theta}{2} & \cos\frac{\theta}{2} \end{bmatrix}$$

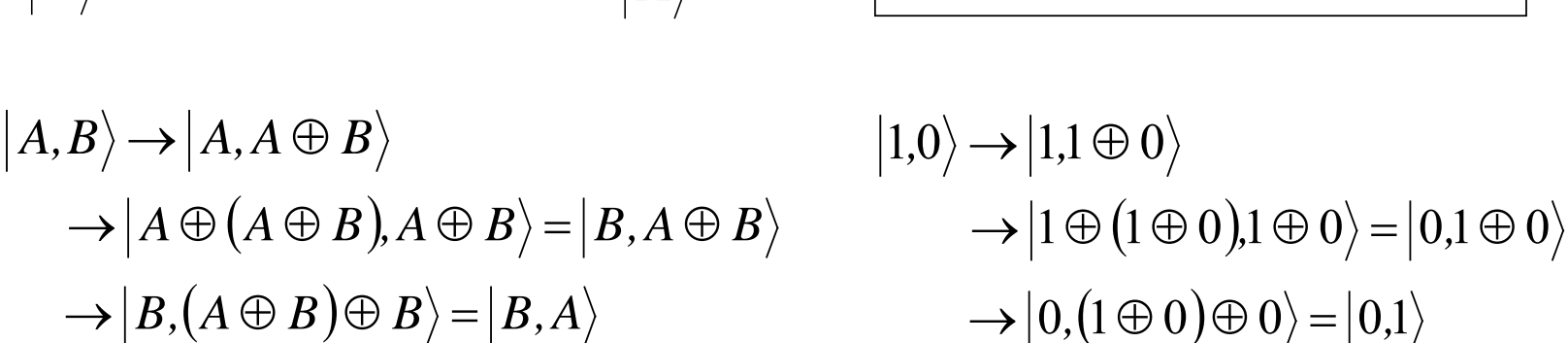
$$R_{z}(\theta) \equiv e^{-i\theta Z/2} = \cos\frac{\theta}{2}I - i\sin\frac{\theta}{2}Z = \begin{bmatrix} e^{-i\theta/2} & 0\\ 0 & e^{i\theta/2} \end{bmatrix}$$



量子計算の例(1) 交換回路

反転した三つの制御NOT



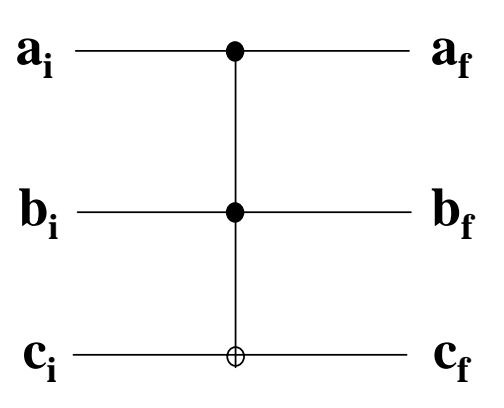


$$\ket{A} - - - \ket{A} - \ket{A \oplus B}$$

単一制御NOT

量子計算の例(2) 制御制御NOTゲート

制御制御NOT(controlled NOT)



$$a_f=a_i$$
, $b_f=b_i$
$$c_f=\left\{egin{array}{ll} \overline{c_i}, & a_i=b_i=1 \, exttt{の場合} \ c_f & exttt{その他} \end{array} \right.$$

$\mathbf{a_i}$	b _i	$\mathbf{c_i}$	$\mathbf{a_f}$	$\mathbf{b_f}$	$\mathbf{c_f}$
0	0	0	0	0	0
0	0	1	0	0	1
0	1	0	0	1	0
0	1	1	0	1	1
1	0	0	1	0	0
1	0	1	1	0	1
1	1	0	1	1	1
1	1	1	1	1	0

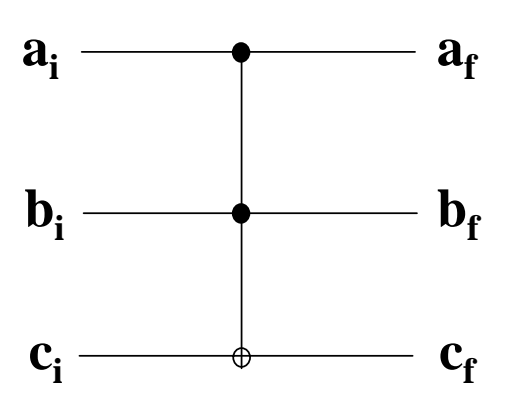
NOTゲート: $a_i = b_i = 1$ の場合 $c_f = c_i$

制御NOTゲート: $a_i=1$ の場合 $b_f=b_i$, $c_f=b_i\oplus c_i$

ANDゲート: $c_i=0$ の場合 $c_f=a_ib_i$ 古典計算もできる!

制御制御NOTゲートは3量子ビットゲート

制御制御NOT(controlled controlled NOT)



$$U_{CCN} \equiv \begin{bmatrix} 1 & 0 & 0 & 0 & 0 & 0 & 0 & 0 \\ 0 & 1 & 0 & 0 & 0 & 0 & 0 & 0 \\ 0 & 0 & 1 & 0 & 0 & 0 & 0 & 0 \\ 0 & 0 & 0 & 1 & 0 & 0 & 0 & 0 \\ 0 & 0 & 0 & 0 & 1 & 0 & 0 & 0 \\ 0 & 0 & 0 & 0 & 0 & 1 & 0 & 0 \\ 0 & 0 & 0 & 0 & 0 & 0 & 0 & 1 \\ 0 & 0 & 0 & 0 & 0 & 0 & 0 & 1 & 0 \end{bmatrix}$$

$$a_f=a_i,\ b_f=b_i$$

$$c_f=\left\{egin{array}{ll} \overline{c_i},\ a_i=b_i=1\, extbf{o}$$
場合 c_f その他

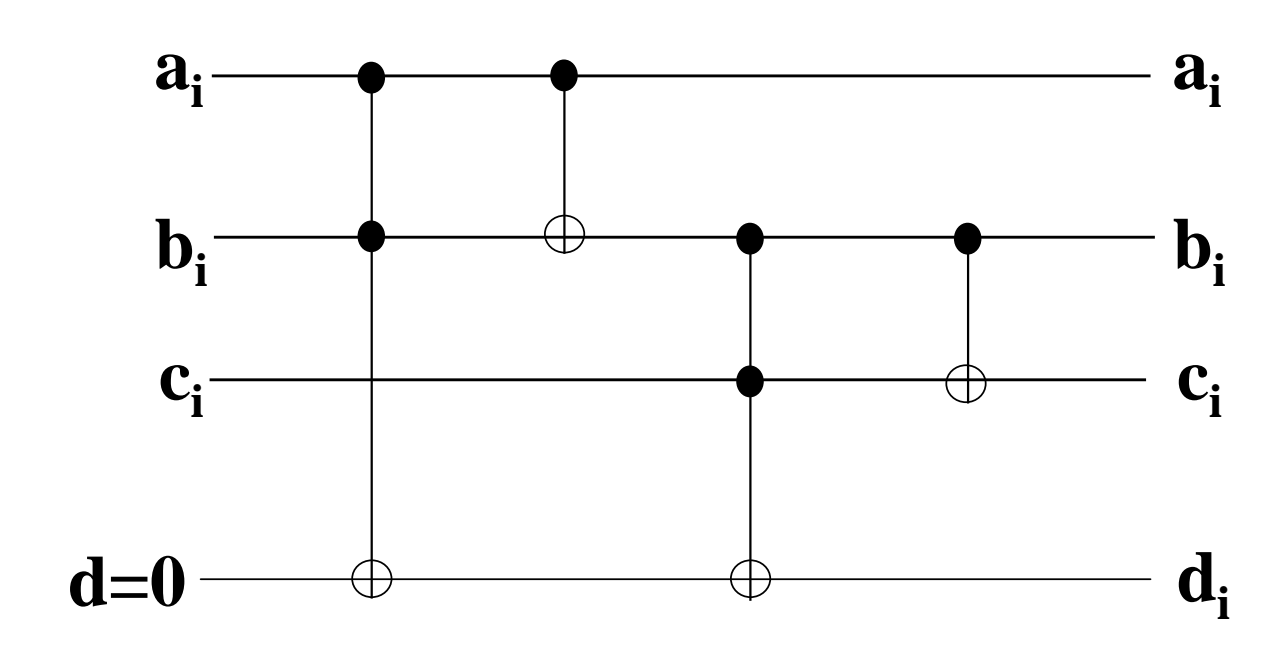
****tokales***
$$c_f = a_i b_i \oplus c_i$$

$$CCN = |000\rangle\langle000| + |001\rangle\langle001| + |010\rangle\langle010| + |011\rangle\langle011| + |100\rangle\langle100| + |101\rangle\langle101| + |110\rangle\langle111| + |111\rangle\langle110|$$

十進数表記で

$$CCN = |0\rangle\langle 0| + |1\rangle\langle 1| + |2\rangle\langle 2| + |3\rangle\langle 3| + |4\rangle\langle 4| + |5\rangle\langle 5| + |6\rangle\langle 7| + |7\rangle\langle 6|$$

宿題



この量子回路が加算器であることを示しなさい.

万能ゲートと観測問題

万能ゲート: すべてのユニタリー変換が、一量子ビット回転ゲート(U_R)と 二量子ビット制御ノットゲート(U_{CN})の組み合わせで実現 できる。または、三量子ビット制御制御ノットゲートのみの 組み合わせでもよい。

量子並列性と矛盾? 本来は100量子ビットの量子並列演算には $2^{100} \times 2^{100}$ のユニタリ行列が必要。

観測問題: 出力 $\psi_f = U_{CN}\psi_i = a_1|00\rangle + a_2|01\rangle + a_3|11\rangle + a_4|10\rangle$ を観測した場合

$$e_i$$
 (|00>, |01>, |10>, |11>) が確率 $\frac{|a_i|^2}{|a_1|^2 + |a_2|^2 + |a_3|^2 + |a_4|^2}$, $i = 0,1,2,3$

で観測され、その後、波束は e_i の状態に収束する。 よって、正解の確率振幅を他より増大させる工夫が必要。

量子フーリエ変換(1)

入力ベクトルの確率振幅をフーリエ変換した結果が出力ベクトルの確率振幅となる.

量子離散フーリエ変換(ユニタリ変換)
$$U\begin{pmatrix} \sum_{x=0}^{N-1} f(x)|x \end{pmatrix} = \sum_{y=0}^{N-1} \widetilde{f}(y)|y \rangle$$

選択的回転変換
$$\widetilde{f}(y) = \sum_{x=0}^{N-1} e^{i\theta_x} \delta_{xy} f(x) = e^{i\theta_y} f(y)$$

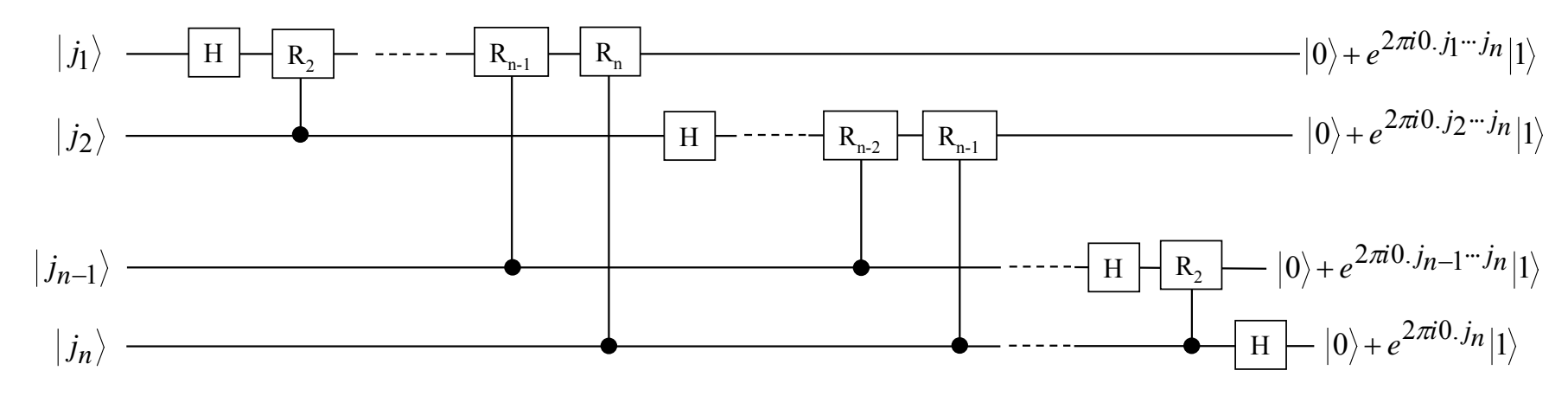
例: Hadamard gate (アダマードゲート) 1量子ビット離散フーリエ変換(可逆)

$$\alpha |0\rangle + \beta |1\rangle - H = \frac{1}{\sqrt{2}} \begin{bmatrix} 1 & 1 \\ 1 & -1 \end{bmatrix}$$

$$H|x\rangle = \frac{1}{\sqrt{2}} \sum_{y=0}^{1} (-1)^{xy} |y\rangle$$

量子フーリエ変換(2)

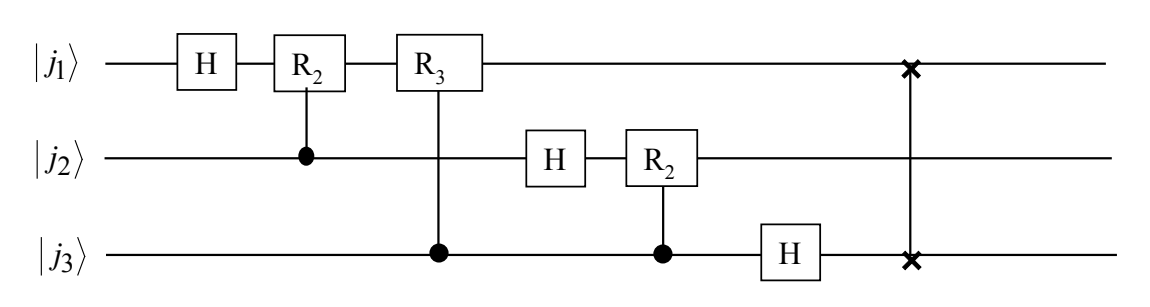
n量子ビット量子フーリエ変換は以下の量子回路で実行できる.



位相ゲート
$$R_{|j-k+1|} = \left|0_{j}0_{k}\right\rangle\left\langle0_{j}0_{k}\right| + \left|0_{j}1_{k}\right\rangle\left\langle0_{j}1_{k}\right| + \left|1_{j}0_{k}\right\rangle\left\langle1_{j}0_{k}\right| + \exp\left(\frac{\pi}{2^{k-j}}\right)\left|1_{j}1_{k}\right\rangle\left\langle1_{j}1_{k}\right|$$

$$\mathbf{R}_{|j-k|+1} \equiv \begin{bmatrix} 1 & 0 \\ 0 & e^{2\pi i/2} |j-k|+1 \end{bmatrix}$$

3キュービット量子フーリエ変換の例



$$R_2 \equiv \begin{bmatrix} 1 & 0 \\ 0 & e^{i\pi/2} \end{bmatrix}$$

$$R_3 \equiv \begin{bmatrix} 1 & 0 \\ 0 & e^{i\pi/4} \end{bmatrix}$$

入力
$$|0\rangle_3 \otimes |1\rangle_2 \otimes |0\rangle_1 \equiv |010\rangle$$

Step 1
$$H_1|010\rangle = |0\rangle \otimes |1\rangle \otimes \frac{1}{\sqrt{2}} (|0\rangle + |1\rangle) = \frac{1}{\sqrt{2}} (|010\rangle + |011\rangle)$$

Step 2
$$R_{2(1-2)}| \rangle = R_{2(1-2)} \frac{1}{\sqrt{2}} (|010\rangle + |011\rangle) = \frac{1}{\sqrt{2}} (|010\rangle + \exp(i\frac{\pi}{2})|011\rangle) = \frac{1}{\sqrt{2}} (|010\rangle + i|011\rangle)$$

Step 3
$$R_{3(1-3)}| \rangle = R_{3(1-3)} \frac{1}{\sqrt{2}} (|010\rangle + i|011\rangle) = \frac{1}{\sqrt{2}} (|010\rangle + i|011\rangle)$$

Step 4
$$H_2| \rangle = \frac{1}{2} \{ |0\rangle (|0\rangle - |1\rangle) |0\rangle + i |0\rangle (|0\rangle - |1\rangle) |1\rangle \} = \frac{1}{2} \{ |000\rangle - |010\rangle + i |001\rangle - i |011\rangle \}$$

Step 5
$$R_{2(2-3)}| \rangle = \frac{1}{2} \{|000\rangle - |010\rangle + i|001\rangle - i|011\rangle \}$$

Step 6
$$H_3| \rangle = \frac{1}{\sqrt{8}} \{ |000\rangle + |100\rangle - |010\rangle - |110\rangle + i |001\rangle + i |101\rangle - i |011\rangle - i |111\rangle \}$$

Step 7(逆転)
$$\frac{1}{\sqrt{8}}\{000\rangle+|001\rangle-|010\rangle-|011\rangle+i|100\rangle+i|101\rangle-i|110\rangle-i|111\rangle\}$$
 フーリエ変換終了 $|hjk\rangle\rightarrow|kjh\rangle$

Quantum algorithms

- > Deutsch-Jozsa algorithm
- > Grover's algorithm
- > Shor's algorithms







Deutsch-Jozsa algorithm (1)

補題1:量子並列性

$$f(x): \{0,1\}$$

$$U_f | x, y \rangle \rightarrow | x, y \oplus f(x) \rangle$$

$$\overrightarrow{\tau} - \cancel{\tau}, \cancel{\tau} - \cancel{\tau}y + \cancel{\tau}$$

$$\frac{|0\rangle + |1\rangle}{\sqrt{2}} \longrightarrow \begin{bmatrix} x & x \\ U_f & |\psi\rangle \\ y & y \oplus f(x) \end{bmatrix} \longrightarrow |\psi\rangle$$

$$\psi = U_f \left| \frac{|0\rangle + |1\rangle}{\sqrt{2}}, |0\rangle \right\rangle \rightarrow \frac{|0, f(0)\rangle + |1, f(1)\rangle}{\sqrt{2}}$$

2関数を並列計算

Walsh-Hadamard transformを利用すると

$$|0
angle$$
 $H^{\otimes 2}$ と記す

Deutsch-Jozsa algorithm (2)

補題1:量子並列性(つづき)

$$\begin{vmatrix}
0 \rangle & \xrightarrow{n} \\
H^{\otimes n} & X \\
0 \rangle & y \oplus f(x)
\end{vmatrix} = \frac{1}{\sqrt{2^n}} \sum_{x} |x\rangle |f(x)\rangle$$

入力
$$|0\rangle^{\bigotimes n}|0\rangle$$

出力
$$\frac{1}{\sqrt{2^n}}\sum_{x}|x\rangle|f(x)\rangle = \frac{1}{\sqrt{2^n}}(|0,f(0)\rangle + |1,f(1)\rangle + |2,f(2)\rangle + \cdots + |x,f(x)\rangle)$$

0~xの入力を並列計算

Deutsch-Jozsa algorithm (3)

補題2:Deutschの問題

入力
$$|\psi_0\rangle = |01\rangle$$

$$|\psi_1\rangle = \left(\frac{|0\rangle + |1\rangle}{\sqrt{2}}\right)\left(\frac{|0\rangle - |1\rangle}{\sqrt{2}}\right)$$

$$\begin{cases} |\psi_2\rangle = \pm \left(\frac{|0\rangle + |1\rangle}{\sqrt{2}}\right) \left(\frac{|0\rangle - |1\rangle}{\sqrt{2}}\right) & \text{if } f(0) = f(1) \\ |\psi_2\rangle = \pm \left(\frac{|0\rangle - |1\rangle}{\sqrt{2}}\right) \left(\frac{|0\rangle - |1\rangle}{\sqrt{2}}\right) & \text{if } f(0) \neq f(1) \end{cases}$$

$$\left|\psi_{2}\right\rangle = \pm \left(\frac{\left|0\right\rangle - \left|1\right\rangle}{\sqrt{2}}\right) \left(\frac{\left|0\right\rangle - \left|1\right\rangle}{\sqrt{2}}\right)$$

if
$$f(0) = f(1)$$

if
$$f(0) \neq f(1)$$

$$:: U_f |x\rangle \left(\frac{|0\rangle - |1\rangle}{\sqrt{2}}\right) = (-1)^{f(x)} |x\rangle \left(\frac{|0\rangle - |1\rangle}{\sqrt{2}}\right)$$

$$\begin{cases} |\psi_{3}\rangle = \pm |0\rangle \left(\frac{|0\rangle - |1\rangle}{\sqrt{2}}\right) & \text{if } f(0) = f(1) \\ |\psi_{3}\rangle = \pm |1\rangle \left(\frac{|0\rangle - |1\rangle}{\sqrt{2}}\right) & \text{if } f(0) \neq f(1) \end{cases}$$

$$|\psi_3\rangle = \pm |1\rangle \left(\frac{|0\rangle - |1\rangle}{\sqrt{2}}\right)$$

if
$$f(0) \neq f(1)$$

$$|\psi_3\rangle = \pm |f(0) \oplus f(1)\rangle \left(\frac{|0\rangle - |1\rangle}{\sqrt{2}}\right)$$

 $f(0) \oplus f(1)$ を1回で決定できる. 古典的には最低2回必要.

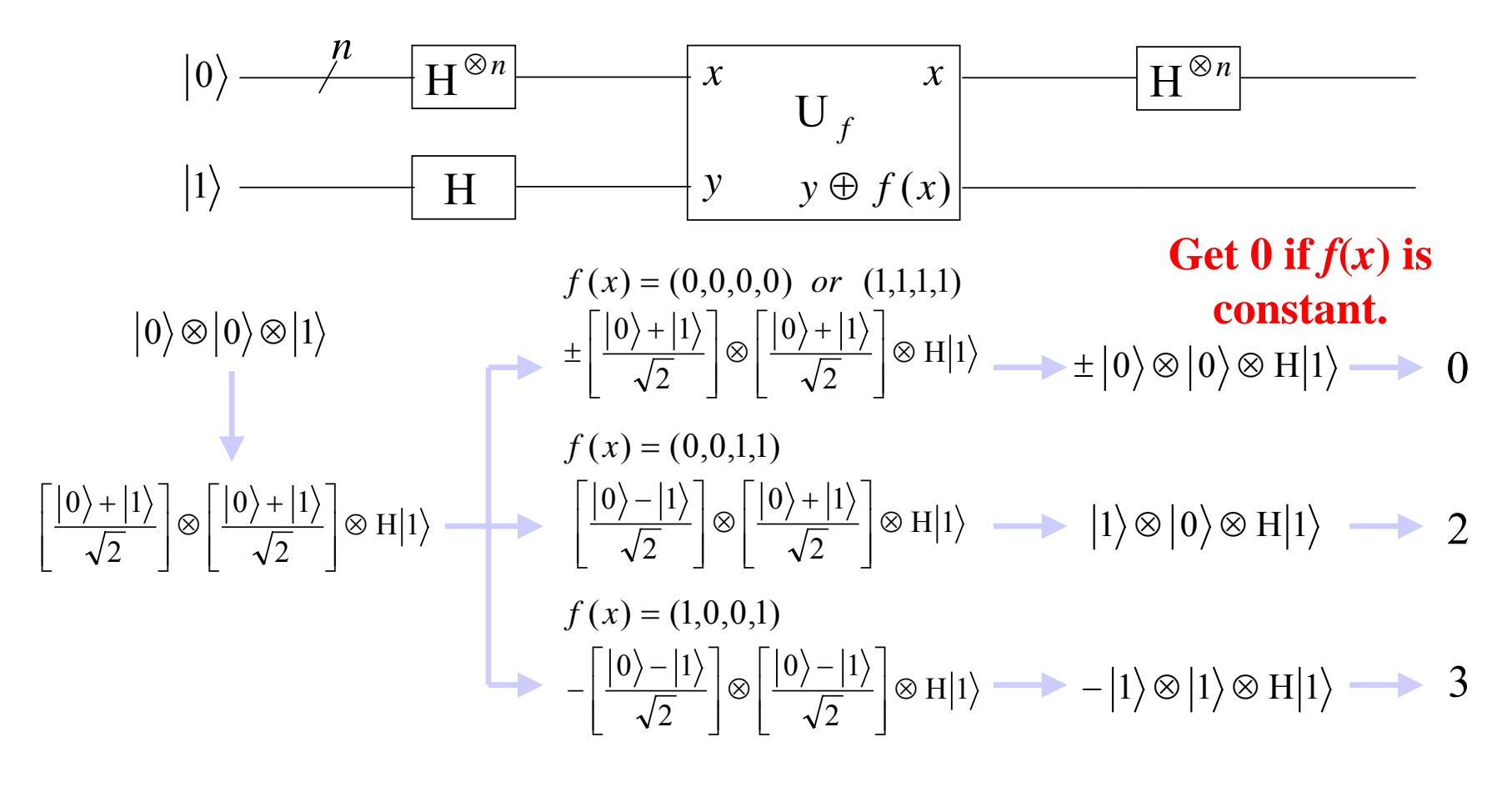
Deutsch-Jozsa algorithm (4)

本題

Mission: Judge whether f(x) is constant or balanced.

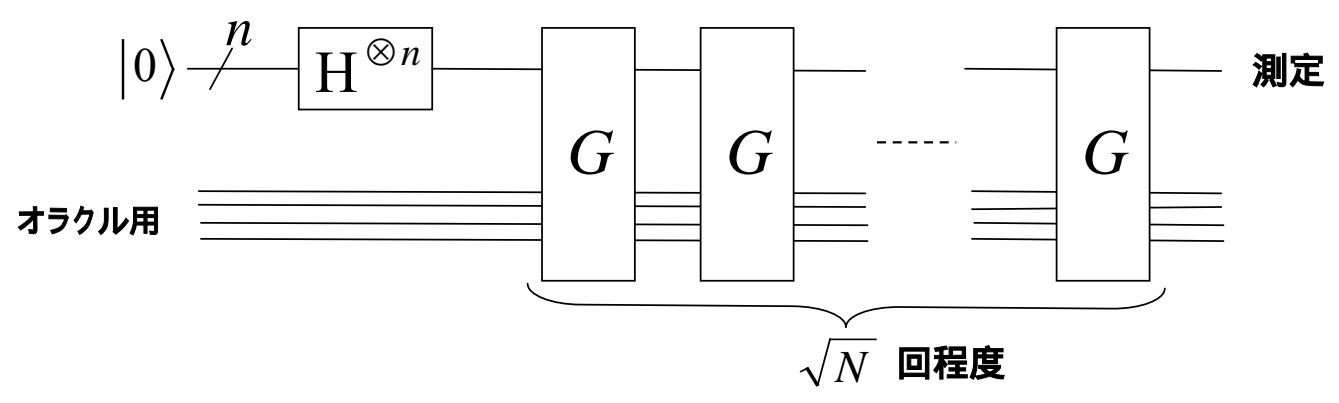
$$|\psi_{0}\rangle = |0\rangle^{\otimes n}|1\rangle \qquad |\psi_{1}\rangle = \sum_{x \in \{0,1\}^{n}} \frac{|x\rangle}{\sqrt{2^{n}}} \left(\frac{|0\rangle - |1\rangle}{\sqrt{2}}\right) \qquad |\psi_{2}\rangle = \sum_{x} \frac{(-1)^{f(x)}|x\rangle}{\sqrt{2^{n}}} \left(\frac{|0\rangle - |1\rangle}{\sqrt{2}}\right)$$
$$|\psi_{3}\rangle = \sum_{z} \sum_{x} \frac{(-1)^{x \cdot z + f(x)}|z\rangle}{2^{n}} \left(\frac{|0\rangle - |1\rangle}{\sqrt{2}}\right)$$

Example: *n*=2

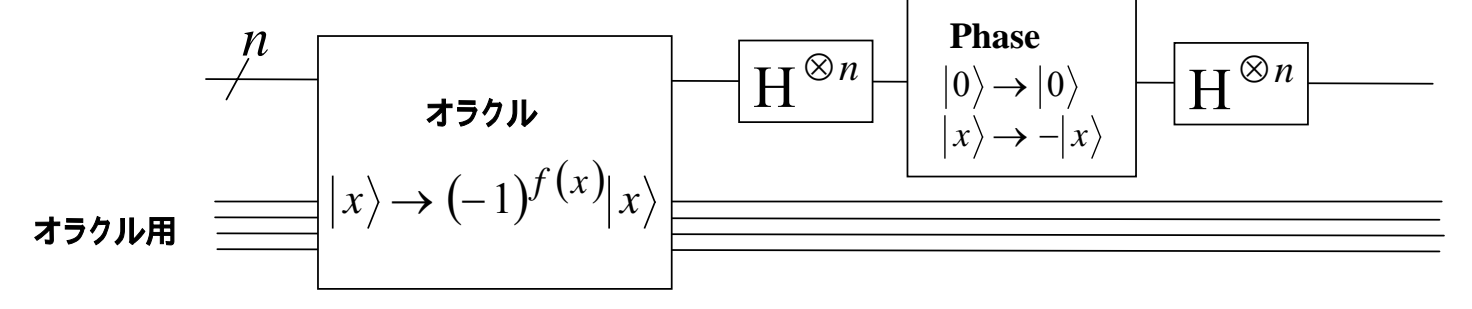


Grover's algorithm (1)

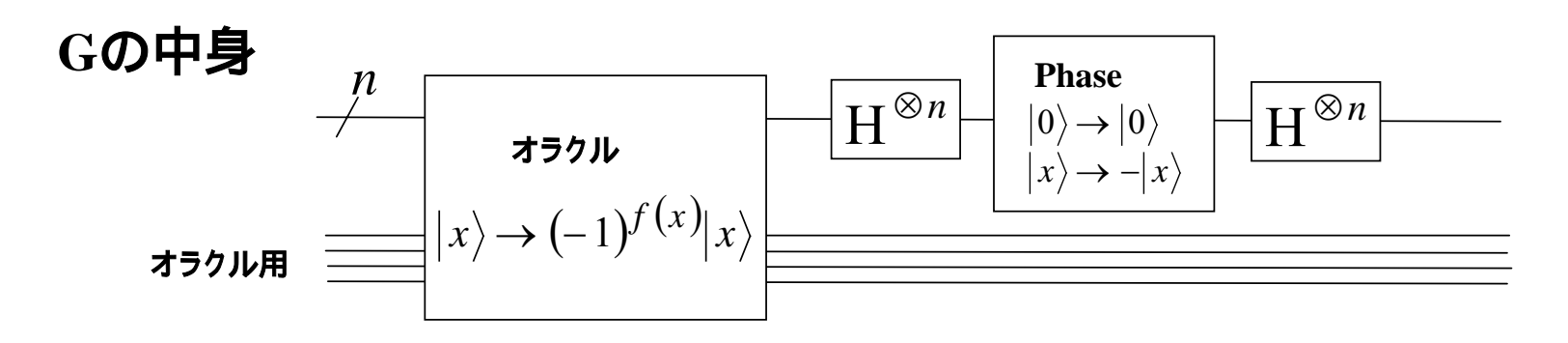
データベース検索: $N=2^n$ 個のファイルがあり、0からN-1までのアドレスがつけられている.指定された内容のファイルを少ないステップで見つけたい.古典的にはNステップ必要だが、グローバーの手法では \sqrt{N} でよい.正解のアドレスでは f(x)=1 その他では0.



Gの中身



Grover's algorithm (2)



 $|x\rangle \rightarrow (-1)^{f(x)}|x\rangle$, すなわちオラクルは正解f(x)=1のときのみに反転させる

$$H^{\otimes n}PH^{\otimes n} = H^{\otimes n}(2|0\rangle\langle 0|-I)H^{\otimes n} = 2|\psi\rangle\langle\psi|-I$$
$$(2|\psi\rangle\langle\psi|-I)\sum_{k}\alpha_{k}|k\rangle = \sum_{k}(-\alpha_{k}+2\langle\alpha\rangle)|k\rangle$$

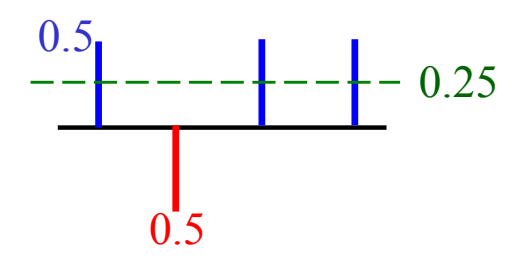
すなわち振幅の平均値<α>を中心として反転させる

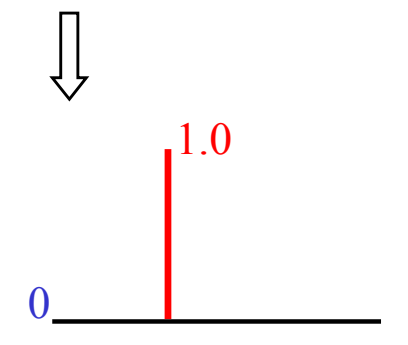
Grover's algorithm (3)

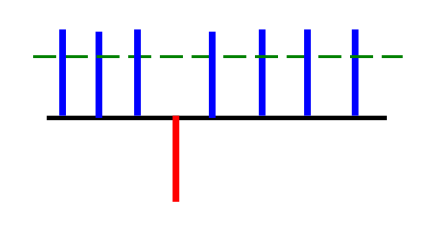
例:4量子ビットで正解が一つで

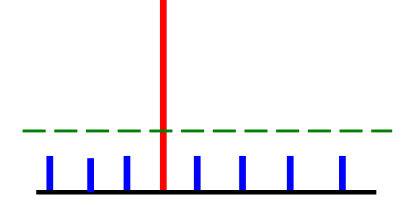
|1⟩の場合(2ⁿにおいてn=2に対応)

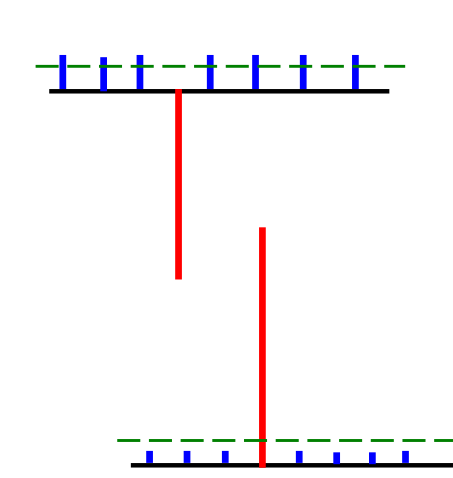
$$x = |0\rangle \quad |1\rangle \quad |2\rangle \quad |3\rangle$$
$$|00\rangle \quad |01\rangle \quad |10\rangle \quad |11\rangle$$











素因数分解の計算(15=3×5の場合)

確定的モデル 15÷2, 15÷3, 15÷4・・・・をつづけ 割り算の答えとあまりを求める

確率的モデル (乱数でためす)

$$F_n = m^n \pmod{N}$$
 $m^n \in N$ で割ったあまり を求める

$$F_n = 2^n \pmod{15}$$
 例として $N=15, m=2$ を選ん だ場合を考える

確率的計算

$$F_n = 2^n \pmod{15}$$

N=15, m=2	こたえ
F ₀ =2 ⁰ ÷15 のあまり	1
F ₁ =2 ¹ ÷15 のあまり	2
F ₂ =2 ² ÷15 のあまり	4
F ₃ =2 ³ ÷15 のあまり	8
F ₄ =2 ⁴ ÷15 のあまり	1
F ₅ =2 ⁵ ÷15 のあまり	2
F ₆ =2 ⁶ ÷15 のあまり	4
F ₇ =2 ⁷ ÷15 のあまり	8

周期 *r*=4

$$m^{r/2} + 1 = 2^{4/2} + 1 = 5$$

 $m^{r/2} - 1 = 2^{4/2} - 1 = 3$

確率的計算 (例2)

	1	1 n	(1 -	· ~ `
H_{-}	= 1	1,0	[mod]	
- m	_	_	(1110 0)	

N=15, m=11	こたえ
F ₀ =11 ⁰ ÷15 のあまり	1
F ₁ =11 ¹ ÷15 のあまり	11
F ₂ =11 ² ÷15 のあまり	1
F ₃ =11 ³ ÷15 のあまり	11
F ₄ =11 ⁴ ÷15 のあまり	1
F ₅ =11 ⁵ ÷15 のあまり	11
F ₆ =11 ⁶ ÷15 のあまり	1
F ₇ =11 ⁷ ÷15 のあまり	11

周期 r=2

$$m^{r/2} + 1 = 11^{2/2} + 1 = 12$$

 $m^{r/2} - 1 = 11^{2/2} - 1 = 10$

緑下線の数字と N=15の 最大公約数をとると3と5

古典的にrを求めるのが難しい

古典的計算機内での処理

$$F_n = 2^n \pmod{15}$$

$\lceil F_n \rceil$	2 ⁿ (mod 15)
F_0	1
F_1	2
F_2	4
F_3	8
F_4	1
F_5	2
F_6	4
F_7	8

レジスターY	
$2^{n} \pmod{15}$	
0001	2^0
0 0 1 0	21
0 1 0 0	2^2
1000	2^3
0 0 0 1	2^0
0 0 1 0	21
0 1 0 0	2^2
1000	2^3
	2 ⁿ (mod 15) 0 0 0 1 0 0 1 0 0 1 0 0 1 0 0 0 0 0 0 1

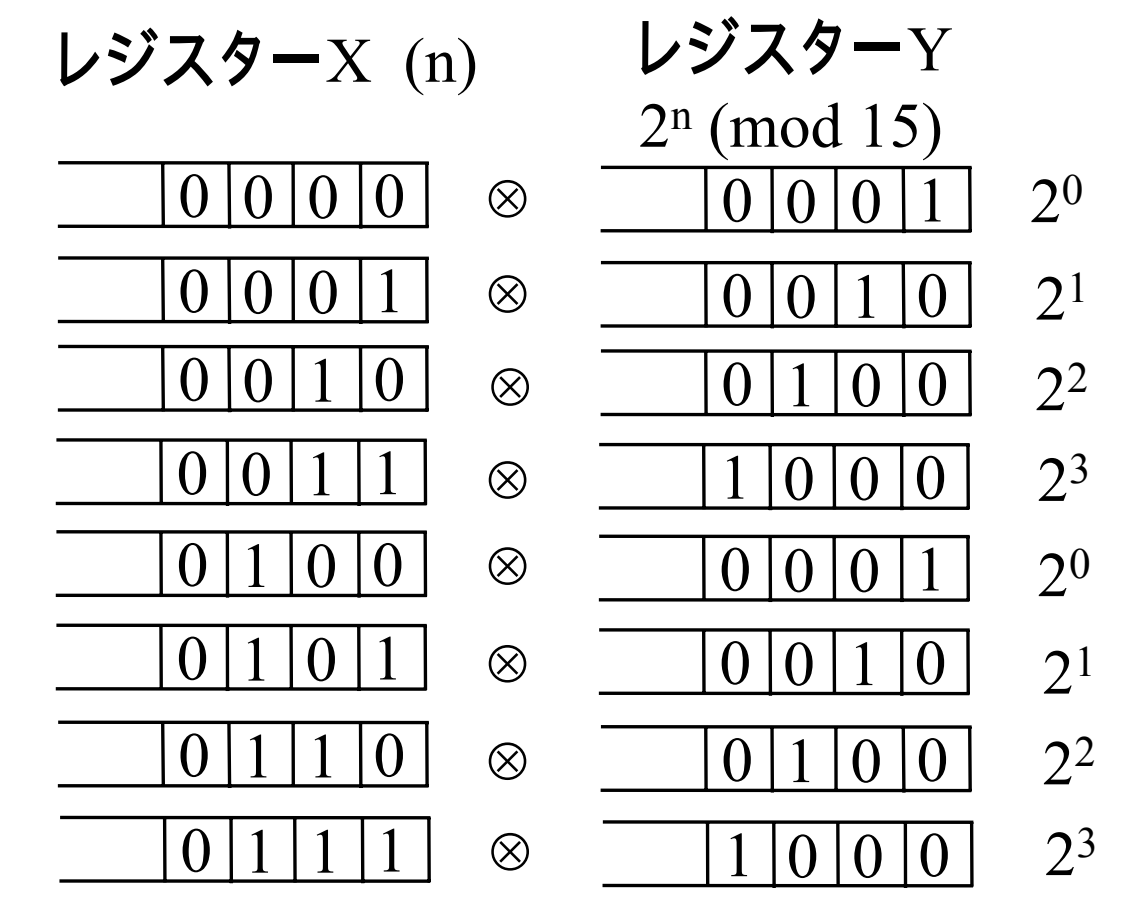
量子計算では

 $F_n = 2^n \pmod{15}$

10進

F_n	2 ⁿ (mod 15)
F_0	1
\mathbf{F}_1	2
F_2	4
F_3	8
F_4	1
F_5	2
F_6	4
F_7	8

2進量子情報



Xに重ね合わせ状態、Yに絡みあった状態をつくる

 $\sum_{x} |x, f(x)\rangle$

量子計算では(2) $F_n = 2^n \pmod{15}$

しらごフターツ(ヵ)	レジスターY		8
レジスターX(n)	2 ⁿ (mod 15)		D) G (21 mod 15) (1) (1) (1) (1) (1) (1) (1) (1) (1) (1
$\boxed{ 0 0 0 0 \otimes}$	0001	2^0	poul) 2
$\boxed{ 0 0 0 1 } \otimes$	0 0 1 0	2^1	0 0 2 4 6 8 10 12
$ 0 0 1 0 \otimes$	0 1 0 0	2^2	Fnのnの値
$\boxed{ 0 0 1 1} \otimes$	1000	2^3	フーリエ変換
0100 8	0001	2^0	10
$\boxed{ 0 1 0 1} \otimes$	0 0 1 0	21	田の田田田田田田田田田田田田田田田田田田田田田田田田田田田田田田田田田田田田
0110 8	0 1 0 0	2^2	可能性の高さ
$\boxed{ 0 \ 1 \ 1 \ 1} \otimes$	1000	2^3	
			0 2 4 6 8 10 12 周期rの値

Shor's algorithm (1)

例:3量子ビットでf(x)の周期がr=2の場合を考える.

$$X : \frac{1}{\sqrt{8}} (|000\rangle + |001\rangle + |010\rangle + |011\rangle + |100\rangle + |101\rangle + |110\rangle + |111\rangle)$$

$$= \frac{1}{\sqrt{8}} (|0\rangle + |1\rangle + |2\rangle + |3\rangle + |4\rangle + |5\rangle + |6\rangle + |7\rangle)$$

$$X, Y: \psi = \frac{1}{\sqrt{8}} \sum_{x} |x, f(x)\rangle$$

離散フーリエ変換をψに適用する.(知りたいのはf(x)の周期r)

$$\psi' = \frac{1}{\sqrt{8}} \sum_{x,k=0}^{7} e^{2\pi i k x / 8} |x, f(x)\rangle = \frac{1}{8} |0\rangle \{ |f(0)\rangle + |f(1)\rangle + |f(2)\rangle + \dots + |f(7)\rangle \} + \frac{1}{8} |1\rangle \{ |f(0)\rangle + e^{2\pi i / 8} |f(1)\rangle + e^{2\pi i 2 / 8} |f(2)\rangle + \dots + e^{2\pi i 7 / 8} |f(7)\rangle \} + \frac{1}{8} |2\rangle \{ |f(0)\rangle + e^{4\pi i / 8} |f(1)\rangle + e^{4\pi i 2 / 8} |f(2)\rangle + \dots + e^{4\pi i 7 / 8} |f(7)\rangle \} + \dots + \frac{1}{8} |7\rangle \{ |f(0)\rangle + e^{14\pi i / 8} |f(1)\rangle + e^{14\pi i 2 / 8} |f(2)\rangle + \dots + e^{14\pi i 7 / 8} |f(7)\rangle \}$$

Shor's algorithm (2)

f(x)も計算の結果,周期r=2であれば,f(0)=f(2)=f(4)=f(6)および f(1)=f(3)=f(5)=f(7)なので以下のように〈〈れる.

$$\psi' = \frac{1}{2} |0\rangle \{|f(0)\rangle + |f(1)\rangle \} +$$

$$\frac{1}{8} |1\rangle \{|f(0)\rangle (e^{0} + e^{\pi i/2} + e^{\pi i} + e^{3\pi i/2}) + |f(1)\rangle (e^{\pi i/4} + e^{3\pi i/4} + e^{5\pi i/4} + e^{7\pi i/4}) \} +$$

$$\frac{1}{8} |2\rangle \{|f(0)\rangle (e^{0} + e^{\pi i} + e^{2\pi i} + e^{3\pi i}) + |f(1)\rangle (e^{\pi i/2} + e^{3\pi i/2} + e^{5\pi i/2} + e^{7\pi i/2}) \} +$$

$$\frac{1}{8} |3\rangle \{|f(0)\rangle (e^{0} + e^{3\pi i/2} + e^{3\pi i} + e^{9\pi i/2}) + |f(1)\rangle (e^{3\pi i/4} + e^{9\pi i/4} + e^{15\pi i/4} + e^{21\pi i/4}) \} +$$

$$\frac{1}{8} |4\rangle \{|f(0)\rangle (e^{0} + e^{2\pi i} + e^{4\pi i} + e^{6\pi i}) + |f(1)\rangle (e^{\pi i} + e^{3\pi i} + e^{5\pi i} + e^{7\pi i}) \} + \dots$$

同色の色線で引かれた位相同士は干渉により弱めあい,ゼロとなる. 結果として生き残るのが

$$\psi' = \frac{1}{2} \left\{ 0, f(0) \right\} + \left| 0, f(1) \right\} + \left| 4, f(0) \right\} + e^{i\pi} \left| 4, f(1) \right\}$$
 よってX測定では0か4を同確率でえる.

Shor's algorithm (3)

ショアのアルゴリズムによると測定結果kは, k=0, $2^{n}/r$, $2 \times 2^{n}/r$, $3 \times 2^{n}/r$, · · · · (r-1) $2^{n}/r$ をとる.



前ページの例ではn=3,k=0,4からr=2が求まる.

疑問: kは, k=0, 2^n /r, 2×2^n /r, 3×2^n /r, · · · (r-1) 2^n /rと何種類の値をとれるため, 周期rは決定できないのでは?

7量子ビットでr=8の例で考えると2⁷=128.よってXの測定で8つのk=0, 16, 32, 48..., 112 のうちの1つが結果として得られる.たとえばkを測定して80が得られたとする.

$$\frac{2^7}{k} = \frac{128}{80} = \frac{8}{5}$$
 他のkでも同じようにすると
$$\frac{2^7}{k} = 8,4,\frac{8}{3},2,\frac{4}{3},\frac{8}{7}$$

分子に注目すると正解r=8が50%の確率で 得られることがわかる.これで十分!

入力に誤差がある場合の影響

例題:

f(x)=kx, k=0, 1, 2, ··N-1が入力された場合の勾配kを知りたい。

方法: ユニタリ行列 $U = [U_{xy}], U_{xy} = \omega^{-xy} / \sqrt{N}, \omega = \exp(2\pi i/N), x, y = 0,1,...,N-1$

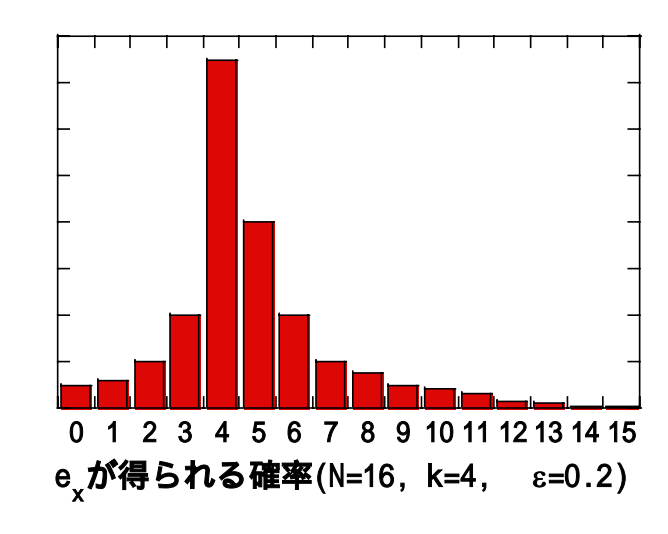
入力 $\psi_k = \left(\omega^{f_k(0)}e_0 + \dots + \omega^{f_k(x)}e_x + \dots + \omega^{f_k(N-1)}e_{N-1}\right)/\sqrt{N}$

忠実に計算すると: $U\psi_k = e_k$ となり確率1で正解が得られる。

例: N=2, k=1の場合

$$U\psi_{1} = \frac{1}{\sqrt{2}} \begin{bmatrix} 1 & 1 \\ 1 & e^{-\left(\frac{2\pi i}{2}\right)} \end{bmatrix} \frac{1}{\sqrt{2}} \left[e^{-\left(\frac{2\pi i}{2}\right)} \right]^{0} \begin{bmatrix} 1 \\ 0 \end{bmatrix} + \left[e^{-\left(\frac{2\pi i}{2}\right)} \right]^{1} \begin{bmatrix} 0 \\ 1 \end{bmatrix}$$

入力 $\mathbf{f_k}$ が正確に行えず $g_k(x) = (k+\varepsilon)x$, $(|\varepsilon| << 1)$ が入力されると $U\psi_k = b_{k,0}e_0 + \cdots + b_{k,x}e_x + \cdots + b_{k,N-1}e_{N-1}$ が出力される。 $\mathbf{N} = \mathbf{16}$, $\mathbf{k} = \mathbf{4}$, $\varepsilon = \mathbf{0}.2$ では $g_4(x) = 4.2x$ が高い確率で得られる。繰り返し測定が重要。



量子コンピュータの基本要素

1. 初期化

量子ビット#1

量子ビット#2

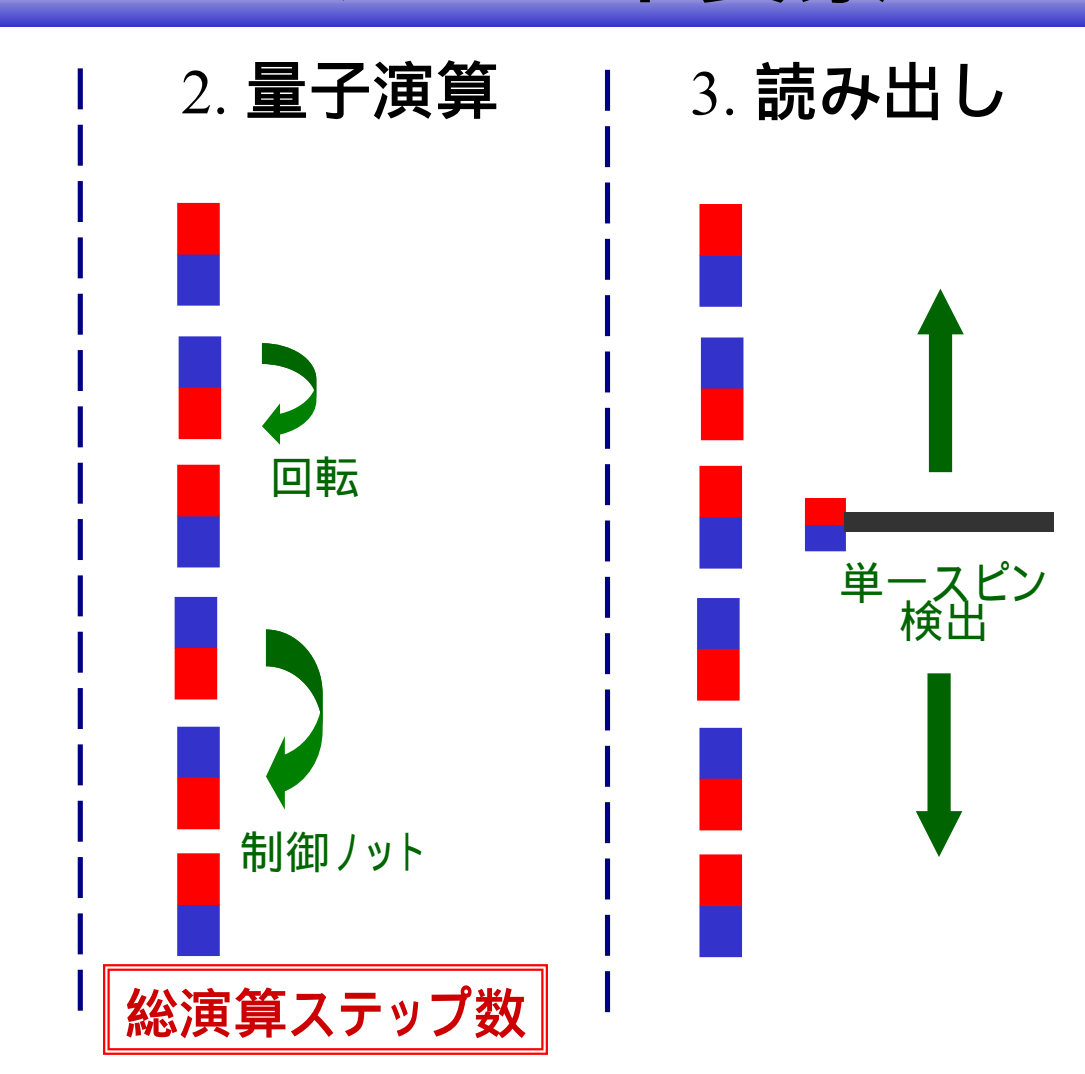
量子ビット#3

量子ビット#4

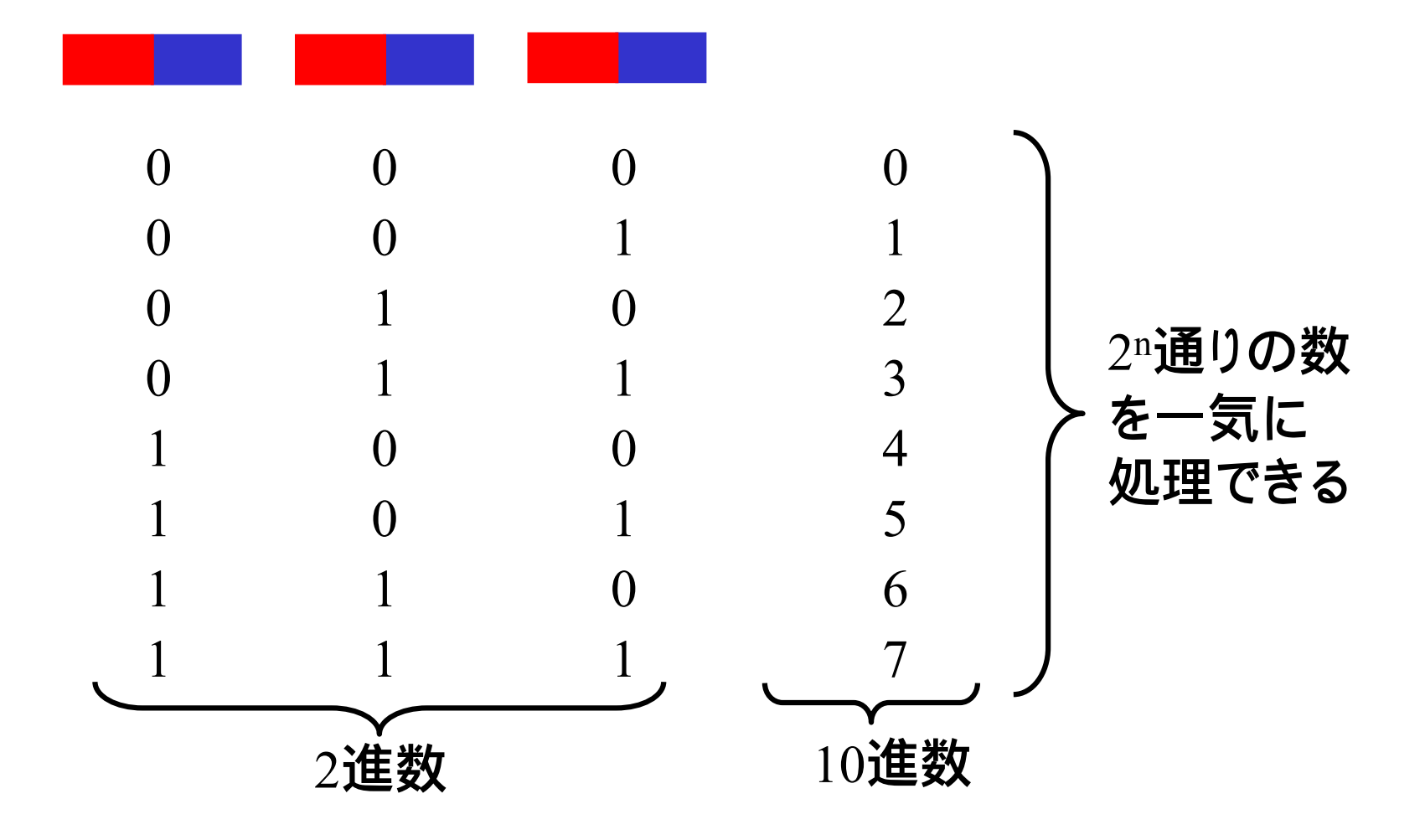
量子ビット#5

量子ビット#6

量子ビット数



超並列計算



量子ビットに必要な性質

- 1.初期化が容易である.
- 2.位相緩和時間が長い(Hが時間に依存しない) 外界との相互作用が小さい
- 3.1ステップに必要な演算時間が短い
- 4.多量子ビット演算に充分な相互作用がえられる. 他の量子ビットとの相互作用をon/offできる.
- 5.単一ビットの状態測定(読み出し)が容易である.

量子コンピュータの実現にむけて

1. 量子ビット数(n)の増加 状態数 2ⁿ

2.総演算ステップ数≡

位相緩和時間 T₂

スイッチ時間 t_s

量子ビット	緩和時間 T ₂ (秒)	スイッチ時間 t _s (秒)	総演算ステップ数
電子準位	10 - 9	10 - 13	10 4
電子スピン	10 - 6	10 - 10	10 4
イオン準位	10 - 1	10 - 14	10 ¹³
核スピン	10 ³	10 - 4	10 ⁷

光子

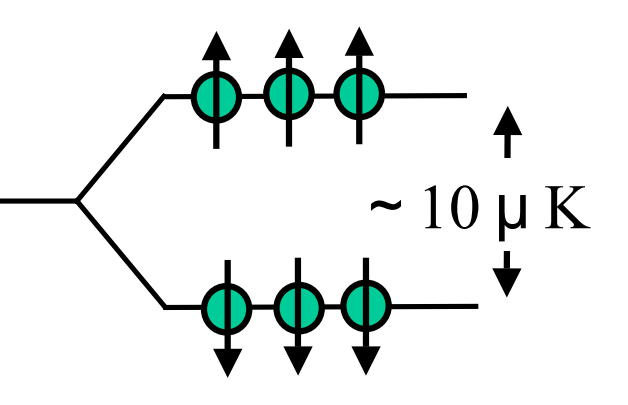
量子ビットのジレンマ(核スピンの例)

長所

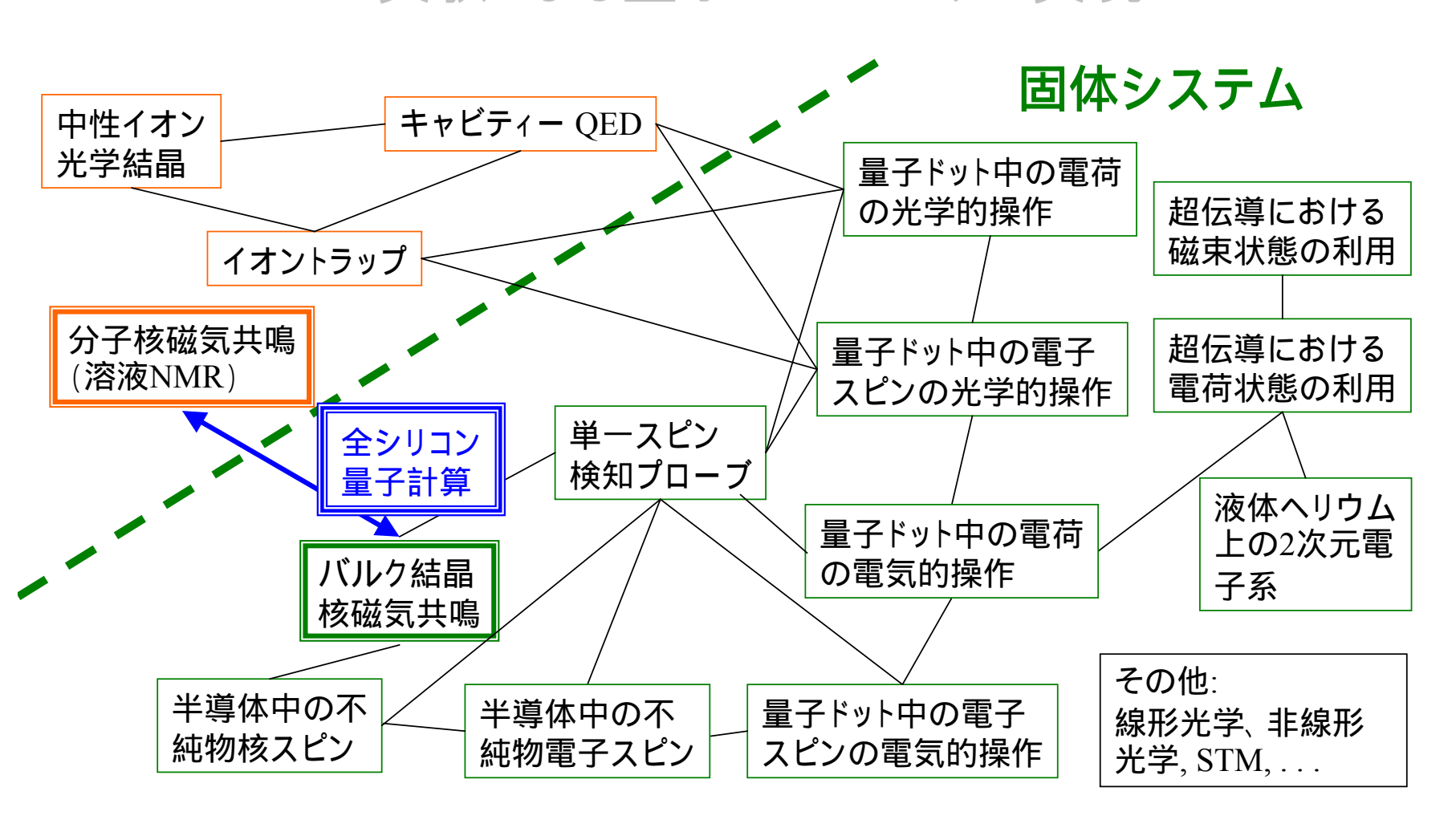
- 1.外界との相互作用が小さい 極めて長い緩和時間 T₂ 1000秒?
- 2.スイッチ時間 t_s 0.0001秒 (核磁気共鳴周波数(KHz)の逆数)
- 3.実現可能な演算ステップ数 107回

短所

- 1.外界との相互作用が小さい 演算・単一スピン測定が困難
- 2. 初期化が困難



実験による量子コンピュータの実現



量子ビット操作最前線

